

# Trabalho 4 - Análise de Variações nos Parâmetros

Renato

## Introdução

Este relatório apresenta a solução numérica da equação diferencial parcial:

$$\frac{\partial C}{\partial t} + u \frac{\partial C}{\partial x} - \alpha \frac{\partial^2 C}{\partial x^2} = 0, \quad 0 < x < L_x, \quad t > 0$$

com as condições de contorno:

$$C(x=0, t) = C_E, \quad \left. \frac{\partial C}{\partial x} \right|_{x=L_x} = 0$$

O objetivo é determinar o perfil de concentração  $C(x, t)$  ao longo do domínio espacial e temporal, utilizando o método de diferenças finitas explícito, considerando variações nos parâmetros físicos ( $\alpha$  e  $u$ ) e numéricos ( $n_x$ ) para analisar diferentes cenários.

## Discretização

Utilizamos as mesmas aproximações das derivadas conforme descrito anteriormente, resultando na equação discretizada:

$$C_i^{m+1} = C_i^m - \Delta t \left( u \frac{C_i^n - C_{i-1}^n}{\Delta x} - \alpha \frac{C_{i+1}^n - 2C_i^n + C_{i-1}^n}{\Delta x^2} \right)$$

A condição de estabilidade permanece:

$$\Delta t \leq \frac{1}{\frac{2\alpha}{\Delta x^2} + \frac{u}{\Delta x}}$$

## Parâmetros dos Testes

Para explorar diferentes cenários, variamos os seguintes parâmetros:

- **Coeficiente de difusão ( $\alpha$ ):**
  - $\alpha = 0.001$
  - $\alpha = 0.01$
  - $\alpha = 0.1$
- **Velocidade de advecção ( $u$ ):**

- $u = 0.5$
- $u = 1.0$
- $u = 2.0$

- Número de pontos espaciais ( $n_x$ ):

- $n_x = 25$
- $n_x = 50$
- $n_x = 100$

Os demais parâmetros permanecem constantes:

- Comprimento do domínio:  $L_x = 1.0$
- Condição de contorno em  $x = 0$ :  $C_E = 1.0$
- Tempo final da simulação:  $T_{\text{final}} = 0.5$

## Implementação em Python

Para acomodar as variações nos parâmetros, modificamos o código para incluir loops sobre os valores de  $\alpha$ ,  $u$  e  $n_x$ , permitindo executar múltiplas simulações.

### Código

```

1 import numpy as np
2 import matplotlib.pyplot as plt
3
4 # Parâmetros constantes
5 Lx = 1.0          # Comprimento do domínio
6 CE = 1.0          # Condição de contorno em x = 0
7 T_final = 0.5     # Tempo final da simulação
8
9 # Valores a serem testados
10 alfa_values = [0.001, 0.01, 0.1]
11 u_values = [0.5, 1.0, 2.0]
12 nx_values = [25, 50, 100]
13
14 # Loop sobre os valores de alfa, u e nx
15 for alfa in alfa_values:
16     for u in u_values:
17         for nx in nx_values:
18             dx = Lx / (nx - 1)          # Tamanho do passo
19                                         # espacial
19             # Condição de estabilidade para o passo de tempo
20             dt_estabilidade = 1.0 / (2 * alfa / dx**2 + u / dx)
21             dt = 0.9 * dt_estabilidade  # Um pouco menor que o
22                                         # máximo permitido
23             nt = int(np.ceil(T_final / dt)) # Número de passos
24                                         no tempo

```

```

23     dt = T_final / nt                                # Recalcular dt para
                ajustar exatamente em T_final
24
25     # Malhas espacial e temporal
26     x = np.linspace(0, Lx, nx)
27     t = np.linspace(0, T_final, nt+1)
28
29     # Condição inicial:  $C(x, t=0) = 0$ 
30     C = np.zeros(nx)
31     C_todos = np.zeros((nt+1, nx))
32     C_todos[0, :] = C.copy()
33
34     # Função para aplicar a condição de Neumann
35     def aplicar_condicao_neumann(C):
36         C[-1] = C[-2]
37         return C
38
39     # Loop no tempo
40     for n in range(nt):
41         # Aplicar condições de contorno
42         C[0] = CE
43         C = aplicar_condicao_neumann(C)
44
45         # Criar uma cópia de C para armazenar os novos
            valores
46         C_novo = C.copy()
47
48         # Atualizar os pontos interiores
49         for i in range(1, nx-1):
50             # Calcular as diferenças finitas
51             dCdx = (C[i] - C[i-1]) / dx
52             d2Cdx2 = (C[i+1] - 2*C[i] + C[i-1]) / dx**2
53
54             # Atualizar usando o esquema explícito
55             C_novo[i] = C[i] - dt * (u * dCdx - alfa *
                d2Cdx2)
56
57         # Atualizar no último ponto
58         i = nx - 1
59         dCdx = (C[i] - C[i-1]) / dx
60         d2Cdx2 = (C[i-1] - 2*C[i] + C[i-1]) / dx**2
61         C_novo[i] = C[i] - dt * (u * dCdx - alfa * d2Cdx2
            )
62
63         # Atualizar a solução
64         C = C_novo.copy()
65         C_todos[n+1, :] = C.copy()
66
67     # Plotar os resultados
68     plt.figure(figsize=(10, 6))
69     for i in range(0, nt+1, nt//5):

```

```

70         plt.plot(x, C_todos[i, :], label=f"t = {t[i]:.2f}
              s")
71     plt.xlabel('Posi    o x')
72     plt.ylabel('Concentra    o C')
73     plt.title(f'Perfil de C - alfa={alfa}, u={u}, nx={nx}
              ')
74     plt.legend()
75     plt.grid(True)
76     # Salvar a figura
77     filename = f'perfil_C_alfa_{alfa}_u_{u}_nx_{nx}.png'
78     plt.savefig(filename, dpi=300)
79     plt.close()

```

## Descrição do Código

O código foi modificado para incluir loops sobre os valores de  $\alpha$ ,  $u$  e  $n_x$ . Para cada combinação desses parâmetros, o código:

1. Calcula o tamanho do passo espacial  $\Delta x$  e o passo de tempo  $\Delta t$  conforme a condição de estabilidade.
2. Inicializa as malhas espacial e temporal, e define a condição inicial.
3. Executa o loop no tempo, atualizando a concentração  $C$  em cada ponto espacial.
4. Plota e salva os gráficos dos perfis de concentração em diferentes tempos para cada conjunto de parâmetros.

As figuras são salvas com nomes que identificam os parâmetros utilizados, facilitando a organização e análise dos resultados.

## Resultados da Simulação

Os resultados obtidos mostram como as variações nos parâmetros influenciam o comportamento da concentração  $C(x, t)$ . A seguir, apresentamos uma análise dos efeitos de cada parâmetro.

## Efeito do Coeficiente de Difusão ( $\alpha$ )

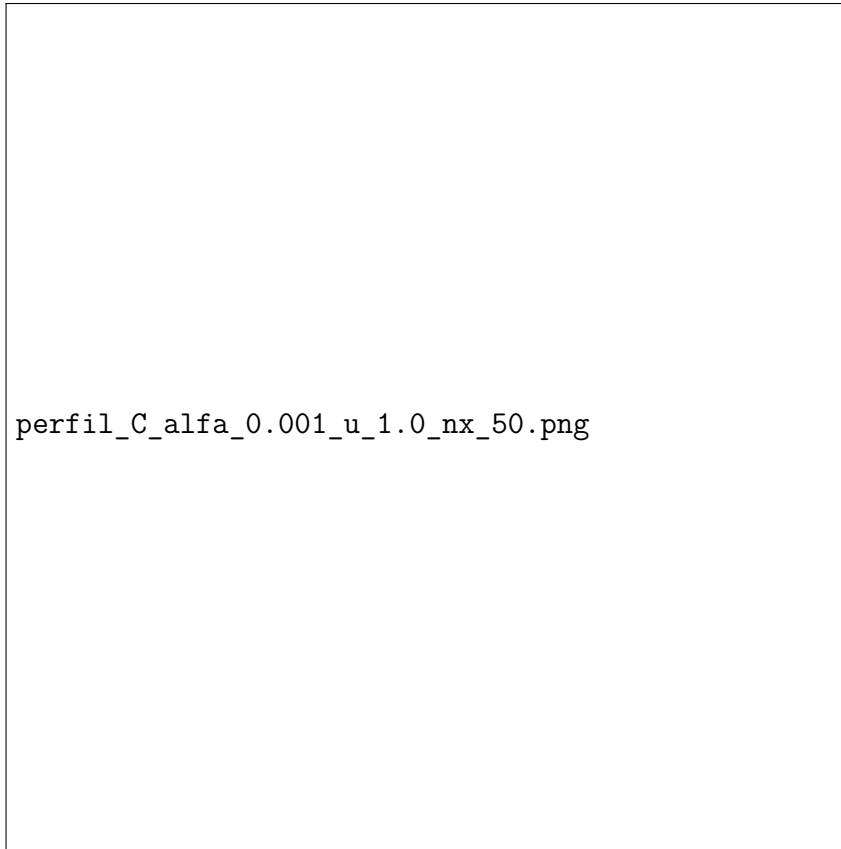


Figura 1: Perfil de  $C$  para  $\alpha = 0.001$ ,  $u = 1.0$ ,  $n_x = 50$ .

Com um valor baixo de  $\alpha$ , a difusão é menos significativa, resultando em um perfil de concentração com frente mais abrupta, conforme mostrado na Figura 1. A advecção domina o processo, transportando a concentração na direção positiva de  $x$  sem muito espalhamento.

## Efeito da Velocidade de Advecção ( $u$ )

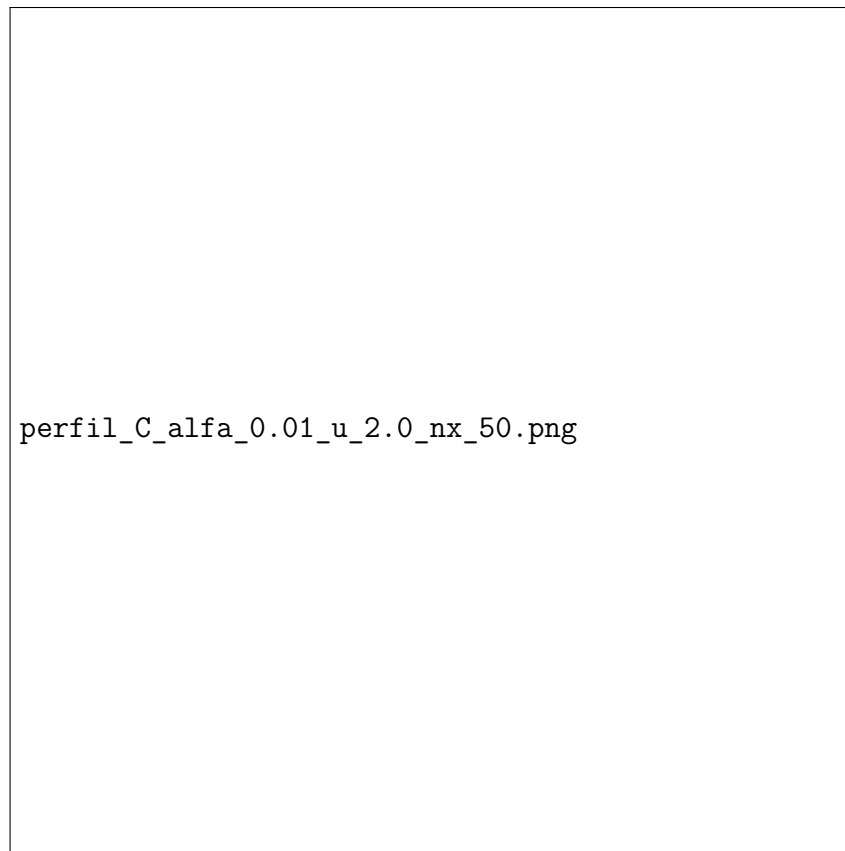


Figura 2: Perfil de  $C$  para  $\alpha = 0.01$ ,  $u = 2.0$ ,  $n_x = 50$ .

Ao aumentar a velocidade de advecção, a concentração é transportada mais rapidamente ao longo do domínio, como visto na Figura 2. Isso resulta em um deslocamento mais acentuado do perfil de concentração em tempos menores.

## Efeito do Número de Pontos Espaciais ( $n_x$ )

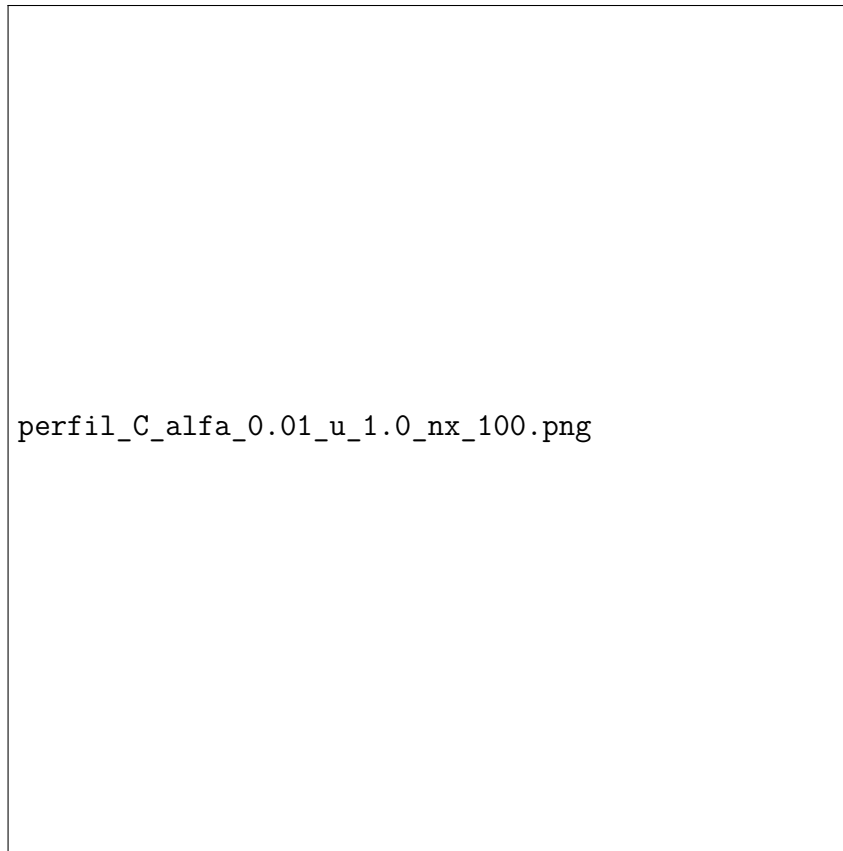


Figura 3: Perfil de  $C$  para  $\alpha = 0.01$ ,  $u = 1.0$ ,  $n_x = 100$ .

Com um maior número de pontos espaciais, a malha fica mais refinada, permitindo capturar detalhes mais precisos do perfil de concentração, como mostrado na Figura 3. Observe-se que o perfil é mais suave e apresenta melhor resolução espacial.

## Análise dos Resultados

As variações nos parâmetros demonstram claramente seus impactos no comportamento da solução:

- **Coeficiente de Difusão ( $\alpha$ ):**
  - Valores baixos de  $\alpha$  resultam em menor difusão, mantendo a frente de concentração mais definida.
  - Valores altos de  $\alpha$  aumentam o espalhamento da concentração, suavizando o perfil.
- **Velocidade de Advecção ( $u$ ):**
  - Valores altos de  $u$  aceleram o transporte da concentração, deslocando o perfil mais rapidamente.

- Valores baixos de  $u$  reduzem o efeito advectivo, permitindo que a difusão tenha maior influência.
- **Número de Pontos Espaciais ( $n_x$ ):**
  - Um maior  $n_x$  proporciona uma malha mais refinada, aumentando a precisão da solução numérica.
  - Malhas mais grosseiras ( $n_x$  baixo) podem não capturar adequadamente variações rápidas na concentração.

## Conclusão

A análise das variações nos parâmetros físicos e numéricos permitiu compreender melhor os diferentes cenários do problema. Observou-se que os parâmetros  $\alpha$  e  $u$  controlam, respectivamente, os processos de difusão e advecção, influenciando significativamente o perfil de concentração ao longo do tempo.

Além disso, o refinamento da malha espacial, controlado por  $n_x$ , é crucial para a precisão da solução numérica. Ajustes adequados nos parâmetros permitem modelar diferentes situações físicas e obter resultados confiáveis.